

УДК 669.162.252

**В. А. КРАВЕЦ\*** (канд. техн. наук, доц.),  
**В. А. ТЕМНОХУД\*\*** (канд. техн. наук, доц.)

\* - Донбасская национальная академия архитектуры и строительства,

\*\* - ГВУЗ «Донецкий национальный технический университет»

## **ЭКСПЕРИМЕНТАЛЬНОЕ ИССЛЕДОВАНИЕ ОБРАЗОВАНИЯ БУРОГО ДЫМА ПРИ ПЕРЕЛИВАХ ЧУГУНА**

На основе экспериментальных данных предложен механизм образования бурого дыма при переливах жидкого чугуна из ёмкости в ёмкость.

**бурый дым, чугун, миксер, атмосфера, кислород, металл**

Переливы чугуна являются необходимым звеном технологии в чёрной металлургии. Каждая порция металла на пути от домны до сталеплавильного агрегата переливается 4 раза: при выпуске чугуна из доменной печи, при заливке в миксер, при сливе из миксера и при заливке в конвертер или мартен. При использовании миксерных чугуновозов число переливов сокращается до 3, но на Украине такая технология пока не применяется.

При каждом переливе в атмосферу выделяется в виде пыли 0,02-0,05% от массы переливаемого металла. Выделяющаяся пыль состоит из двух основных компонентов: на 10-20% из крупнодисперсной графитной пыли, которую легко уловить обычными циклонами, и на 75-85% из мелкодисперсного бурого дыма, аналогичного по свойствам бурому дыму сталеплавильных процессов и требующего для улавливания применения дорогостоящих, громоздких и сложных в эксплуатации аппаратов - электрофильтров или тканевых рукавных фильтров.

В настоящее время существует несколько теорий образования бурого дыма в ходе сталеплавильных процессов, однако ни одна из них не является общепризнанной и ни одна не может быть в готовом виде применена для описания процесса дымообразования при переливах чугуна из ёмкости в ёмкость.

Так, большинство исследователей старшего поколения считают, что бурый дым образуется в результате испарения железа или его оксидов из реакционной зоны при продувке металла кислородом [1,2]. Но при переливах чугуна отсутствует реакционная зона со свойственными ей высокими

температурами, и следовательно, испарительная теория не может объяснить образование бурого дыма в этом случае.

В работах [3,4] показано, что образование мельчайших капель металла, по размерам соответствующих частицам бурого дыма, может происходить в результате термического диспергирования поверхностной плёнки металла в зоне контакта кислородной струи с поверхностью жидкого чугуна. При этом, в результате экзотермических реакций, эта поверхность разогревается и возникает сильный градиент температуры в микроскопическом поверхностном слое металла. Это приводит к появлению волн, распространяющихся в металле со скоростью звука. При таких условиях металл ведёт себя как квазивёрдое вещество и может крошиться. Куски металла выбрасываются в газовую фазу, где принимают сферическую форму. По мнению авторов работ [3,4], такой механизм является основной причиной образования бурого дыма в начале и середине плавки, а в конце плавки некоторую роль приобретает физическое испарение.

Эта гипотеза не объясняет образования бурого дыма при переливах чугуна, когда отсутствует взаимодействие ванны со струёй кислорода и возникновение сильного температурного градиента невозможно.

Другие авторы считают, что бурый дым в сталеплавильных агрегатах образуется в результате сгорания в струе кислорода мельчайших капелек металла, выбрасываемых в газовую фазу в результате всплытия пузырейmonoоксида углерода при кипении ванны [5,6].

Однако, при переливах чугуна не происходит кипения ванны, а образующиеся при механическом дроблении металла брызги имеют средний размер около 1 мм, что примерно в 100 раз крупнее капель, выносимых в газовую фазу всплывающими пузырями CO и в 1000 раз крупнее частиц бурого дыма. Столь крупные брызги не могут сгореть при полёте в воздухе, и следовательно, не могут быть прямым источником образования бурого дыма.

В то же время наблюдения за процессом выделения бурого дыма при наполнении ковша чугуном показывают, что пылеобразование наиболее интенсивно в начальный период наполнения ёмкости, когда струя металла ударяется о футеровку, и количество образующихся брызг максимально. В дальнейшем на дне ёмкости образуется слой жидкого металла, смягчающий удар, количество брызг уменьшается и одновременно, в 1,3-2,5 раз уменьшаются выбросы бурого дыма. При осторожных переливах с небольшой высоты чугун вообще не дымит. Очевидно, процесс пылеобразования тесно связан с процессом диспергирования металла, а наличие брызг является необходимым звеном процесса образования бурого дыма. Другим необходимым условием является наличие окислительной атмосферы [7].

Это позволяет предположить, что причиной образования бурого дыма является взаимодействие брызг металла с кислородом газовой фазы.

Для проверки этого предположения были выполнены исследования брызг чугуна, образующихся при сливе металла из миксера в ковш.

Для улавливания брызг металла из общего потока выбросов в миксерном отделении конвертерного цеха меткомбината «Азовсталь» был сооружён встроенный в газоход аспирационной системы инерционный брызгоуловитель типа ВМ, представляющий собой бункер, установленный под отверстием в газоходе, прорезанном в месте поворота газохода на  $90^{\circ}$  в вертикальной плоскости. Встроенный в газоход брызгоуловитель показан на рис.1. Брызгоуловитель улавливал практически все металлические частицы, а также наиболее крупные и загрязнённые металлом частицы графита и шлака. Уловленная пыль разделялась магнитом, причём 84,85% частиц (по массе) составляли застывшие брызги чугуна. В табл.1 представлено распределение брызг чугуна по гранулометрическому составу по результатам ситового анализа.

Таблица 1 - Гранулометрический состав брызг чугуна из брызгоуловителя

Фракция, мм	> 1	1-0,4	0,4-0,31	0,31-0,18	0,18-0,125	0,125-0,1	0,1-0,071	0,071-0,063	0,063-0,05	< 0,05
% по массе	0,35	28,64	22,04	30,41	10,4	3,7	2,2	0,35	0,59	1,32

Как видно из табл. 1 распределение брызг металла по гранулометрическому составу подчинено нормально-логарифмическому закону распределения. Среднемедианный размер уловленных брызг составил 430 мкм.

В табл. 2 представлен химический анализ брызг металла. Анализ выполнялся в лаборатории химического анализа ДонНИИЧермет по стандартным методикам.

Из табл.2 видно, что основную массу брызг составляет окисленное и металлическое железо, а содержание углерода снижено по сравнению с чугуном в результате процессов обезуглероживания и выделения CO. Высокая доля окисленного железа свидетельствует об интенсивности окислительных процессов в каплях. Об этом же свидетельствует пониженное, по сравнению с расплавом чугуна, содержание углерода в брызгах.

Брызги чугуна исследовались под микроскопом. Для этого использовался растровый электронный микроскоп JSM-T300. Объекты исследовались в отражённом поляризованном свете.

На рис.2- 4 представлены фотографии различных фракций брызг металла. В правом нижнем углу каждой фотографии линией показан масштаб снимка. Цифрами указаны, слева направо: длина характерного размера (в мкм), увеличение объектива микроскопа, дата исследования и номер кадра.

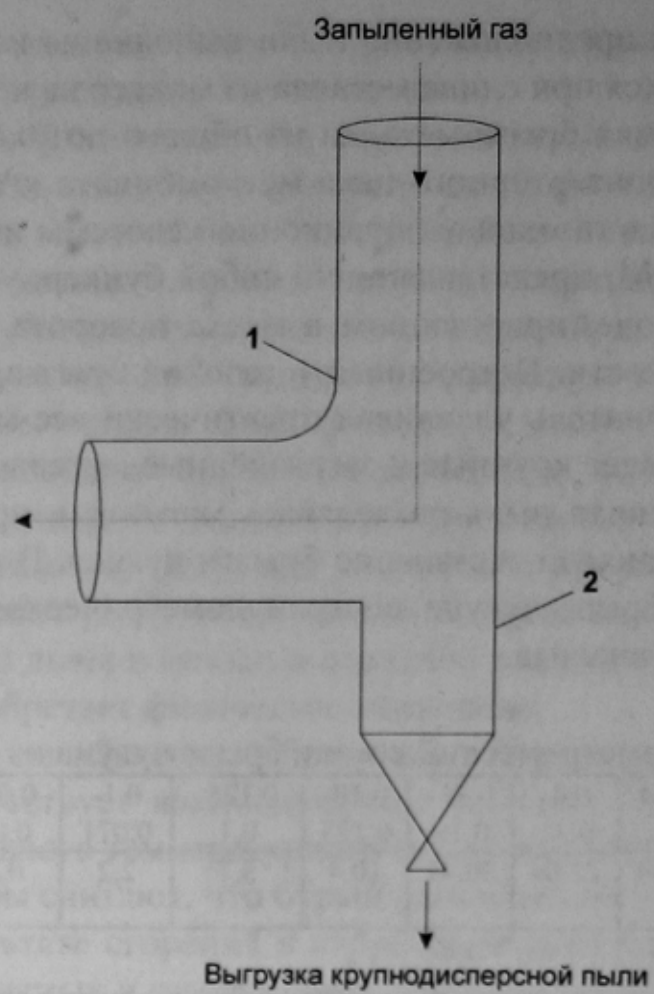


Рисунок 1. Встроенный в газоход брызгоуловитель: 1-поворот газохода на 90°; 2-бункер для брызг.

Таблица 2 - Химический состав брызг чугуна

Компонент	$\text{Fe}_{\text{мет}}$	$\text{FeO}$	$\text{Fe}_2\text{O}_3$	$\text{SiO}_2$	C	Остальные компоненты
% по массе	6,02	26,2	62,6	2,6	2,51	0,07

Было установлено, что значительная часть исследованных брызг носила явные следы взрыва пузырька газа: в брызгах имелись полости, рваные отверстия, многие частицы представляли собой осколки более крупных полых сфер.

Было установлено также, что доля взорвавшихся брызг возрастила с ростом размера капли.

Из фотографий видно, что по мере уменьшения размера частиц доля взорвавшихся капель снижается. Среди капель размером менее 32 мкм взорвавшиеся частицы отсутствуют. В то же время осколки крупных брызг носят явные следы неоднократных взрывов.

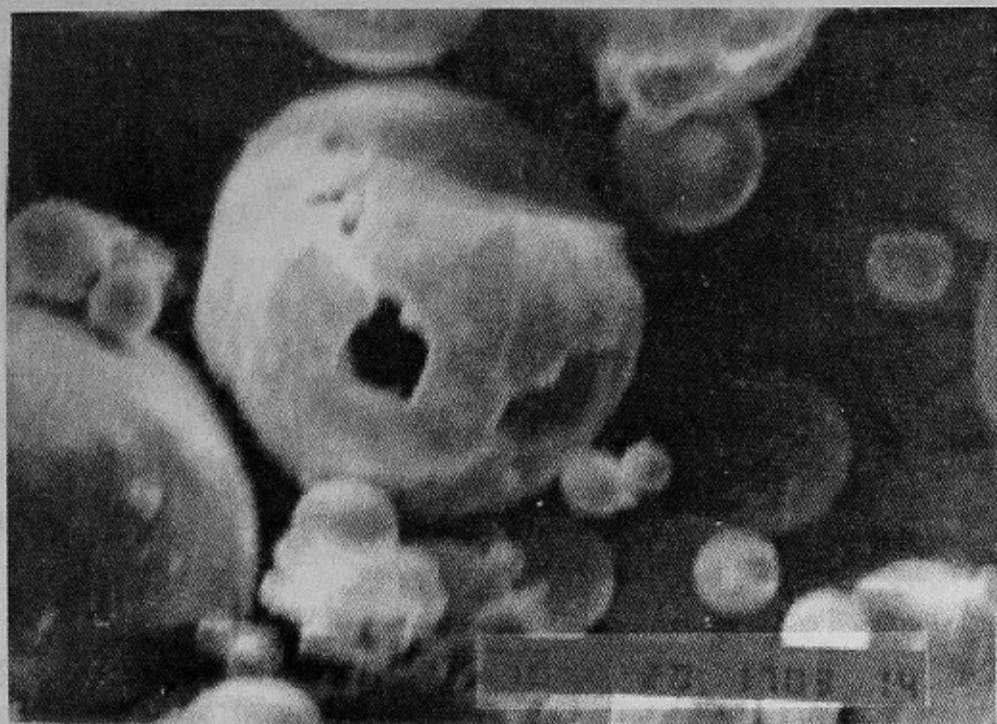


Рисунок 2 - Вид под микроскопом брызг чугуна, фракция до 100 мкм. Видна частица диаметром около 100 мкм со следами взрыва. В то же время мелкие частицы не имеют следов взрыва.

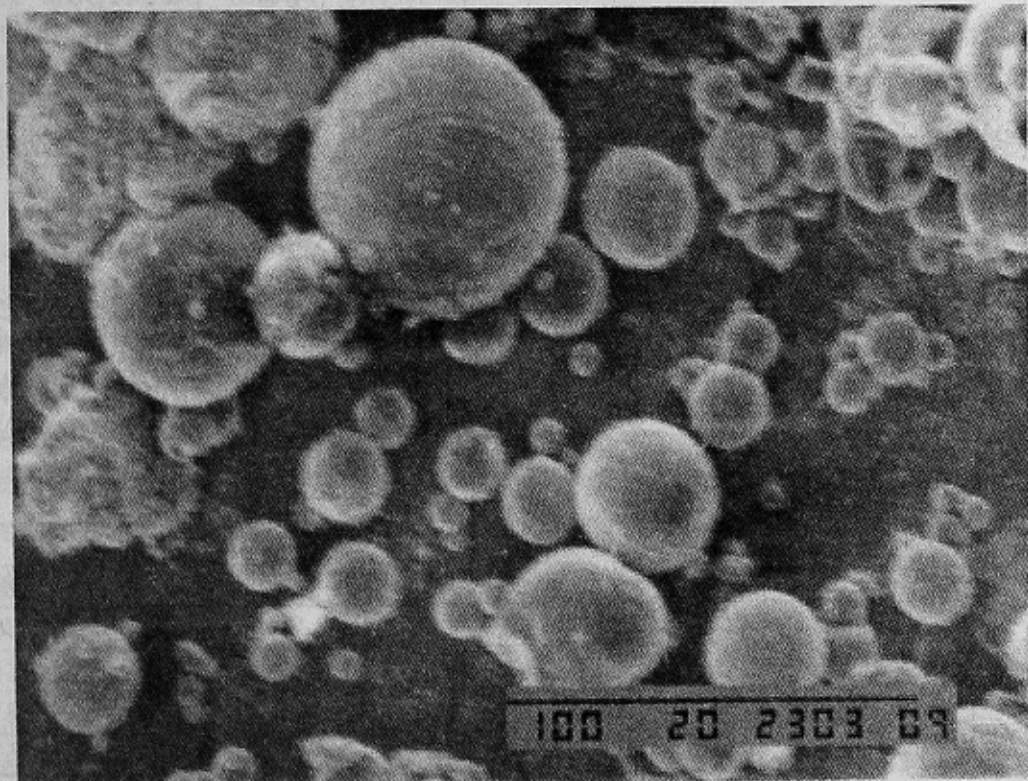


Рисунок 3. - Вид под микроскопом брызг чугуна, фракция менее 32 мкм. Частицы со следами взрыва отсутствуют

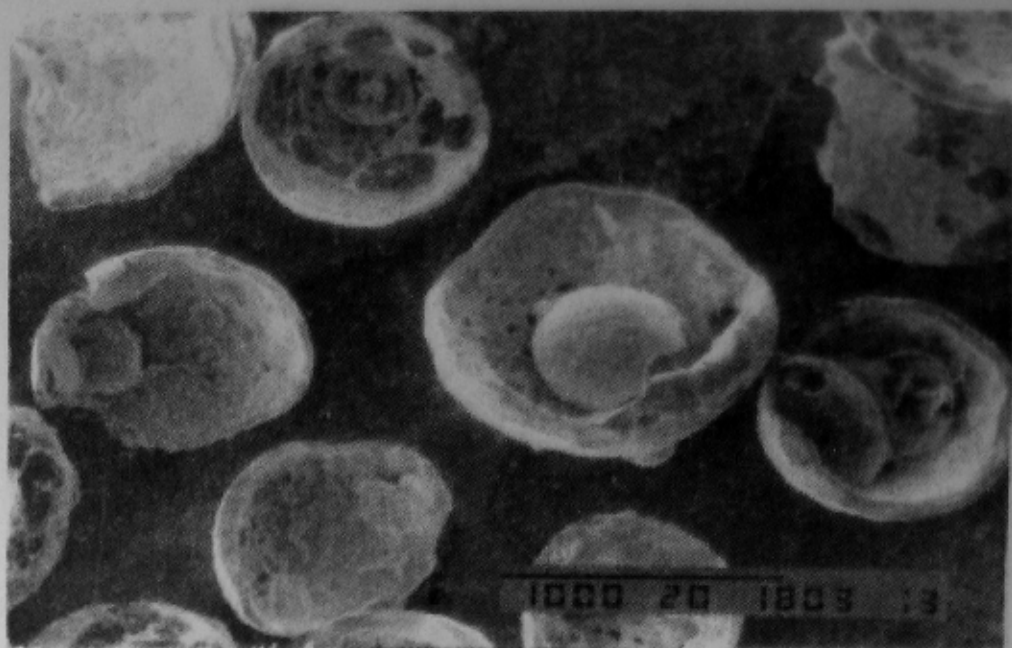


Рисунок 4 - Вид под микроскопом брызг чугуна, фракция 1-2 мм.  
100% частиц носят следы взрыва.

В табл. 3 представлены результаты изучения по фотографиям частиц различных фракций. Из табл. 3 видно, что брызги диаметром более 250 мкм взрываются со 100% вероятностью. Чем меньше размер капли металла, тем меньше вероятность взрыва. Изучение брызг размером менее 32 мкм показало, что большинство частиц это фракции не имеют следов взрыва, а небольшая часть взорвавшихся капель явно представляют собой осколки более крупных брызг. Таким образом, можно считать размер 32 мкм нижней границей процесса взрыва.

Таблица 3 - Доля взорвавшихся частиц при переливах чугуна.

Фракция, мкм	Средний размер частиц в фракции, мкм	Общее количество частиц в данной фракции	Количество взорвавшихся частиц	Вероятность взрыва, %
1-2	1,5	16	0	0
2-4	3	216	0	0
4-8	6	620	0	0
8-16	12	725	7	0,97
16-32	24	683	32	4,7
32-63	48	366	61	16,7
63-125	94	116	44	37,9
125-250	188	7	4	57,1
250-500	375	6	6	100
500-1000	750	6	6	100
1000-2000	1500	2	2	100
Более 2000	-	0	0	-

Таким образом, изучение брызг металла, образующихся при переливах чугуна, показало, что в результате взаимодействия брызг с кислородом воздуха часть капель взрывается. Существуют критические размеры капель, определяющих вероятность взрыва. Так, капли размером менее 32 мкм не взрываются. Капли размером 250-1000 мкм взрываются со 100% вероятностью. Капли промежуточных размеров, от 32 до 250 мкм, взрываются с тем большей вероятностью, чем больше размер капли. Под вероятностью, в данном случае, понимается отношение количества взорванных частиц к общему числу частиц в данной фракции.

Экспериментальные данные были обработаны с целью получения регрессионной зависимости с помощью программы MathCAD. Результаты эксперимента хорошо описываются зависимостью

$$P=1-\exp(-0,16625 \frac{D}{D_0}), \quad (1)$$

где  $P$  – вероятность взрыва, выраженная в долях от единицы;

$D$  – диаметр капли металла, мкм;

$D_0$  – минимальный диаметр капли, при которых начинаются взрывные процессы, мкм.

В данном случае было принято, что  $D_0=30$  мкм.

Факт взрыва крупных капель металла во время перелива чугуна был подтверждён также исследованием фотографий и киноплёнок, выполненных при сливе чугуна из миксера в ковш в миксерном отделении конвертерного цеха меткомбината «Азовсталь». На рис.6 приведена одна из таких фотографий, выполненная при подаче газообразного азота в ковш, благодаря чему над ковшом почти отсутствуют выбросы бурого дыма и хорошо видны брызги металла и элементы конструкций. На фотографии отчётливо видно, что брызги металла при полёте в воздухе взрываются с образованием большого количества мелких брызг.

Образовавшиеся в результате взрыва брызги диаметром менее 32 мкм окисляются в режиме тотального горения, разогреваются до температуры выше 2500°C и испаряются. Пары железа и засыпи железа доокисляются в газовой фазе до высшего окисла Fe<sub>2</sub>O<sub>3</sub>, затем происходит конденсация и агрегатирование, и образуются, собственно, частицы бурого дыма.

Для подтверждения этих выводов исследовалась пыль, отобранная из потока выбросов в газоходе после циклонов ЦН-15 в миксерном отделении конвертерного цеха меткомбината «Азовсталь».

Улавливание пыли для анализа производилось при помощи специально сшитого рукава из фильтровальной ткани ТФ-200 ч. Отвод запыленного

газа для фильтрации через рукав производился при помощи пылесоса с соблюдением принципа изокинетичности. Химический анализ производился по ГОСТ 23581.22-81 в химической лаборатории ДонНИИЧермет. Результаты анализа приведены в табл. 4.

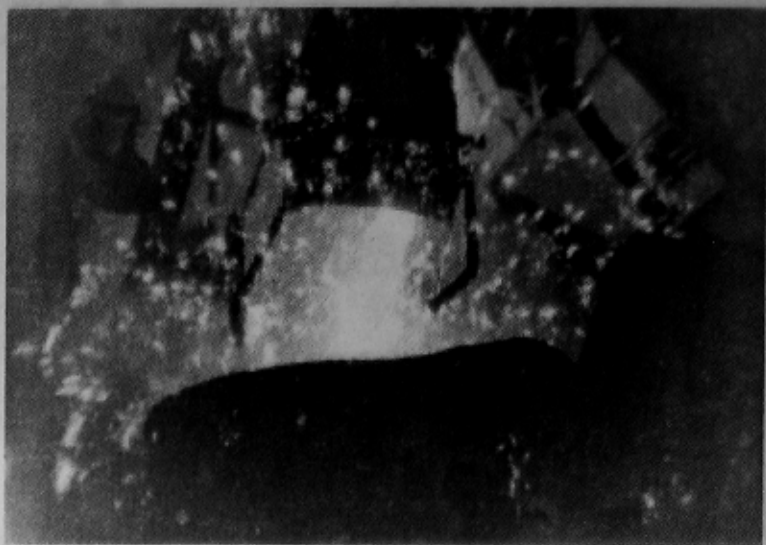


Рисунок 5 - Слив чугуна из 2500-тонного миксера в 350-тонный ковш в миксерном отделении конвертерного цеха меткомбината «Азовсталь». Видны взрывающиеся брызги чугуна.

Таблица 4 - Химический состав пыли (бурого дыма), отобранной из потока выбросов после циклонов ЦН-15.

Компонент	Fe <sub>общ.</sub>	Fe <sub>мет.</sub>	Fe <sub>О</sub>	Fe <sub>2</sub> O <sub>3</sub>	C	Остальные компоненты
% вес.	66,71	0,13	5,5	89,2	1,07	4,1

Как видно из табл. 4, пыль, выбрасываемая в атмосферу после циклонов ЦН-15, примерно на 95% состоит из оксидов железа, т.е. это бурый дым.

Исследование пыли под микроскопом показало, что частицы бурого дыма имеют сферическую форму и следующий гранулометрический состав, приведенный в табл. 5.

Таблица 5 - Гранулометрический состав бурого дыма по данным микроскопического анализа

Фракция, мкм	Менее 1	1-3	Более 3
% по количеству частиц	90	9,1	0,9

Форма и размеры частиц свидетельствуют в пользу испарительно-конденсационного происхождения частиц бурого дыма.

В микроскоп было видно, что сферические частицы бурого дыма способны образовывать цепочечные агрегаты, преимущественно из 3-4 частиц. В пыли присутствовало также в виде механической примеси незначительное количество пластин графита размером до 10 мкм, попавших в выбросы в результате проскока через циклоны ЦН-15. Поскольку отдельить эти частицы из смеси не удалось, то данные химического анализа содержат также и состав этих частиц. Этим объясняется наличие незначительного количества примесей (около 5%), тогда как сами частички бурого дыма состоят, вероятно, практически полностью из окисленного железа.

Схема процесса образования бурого дыма при переливах чугуна показана на рис.6.

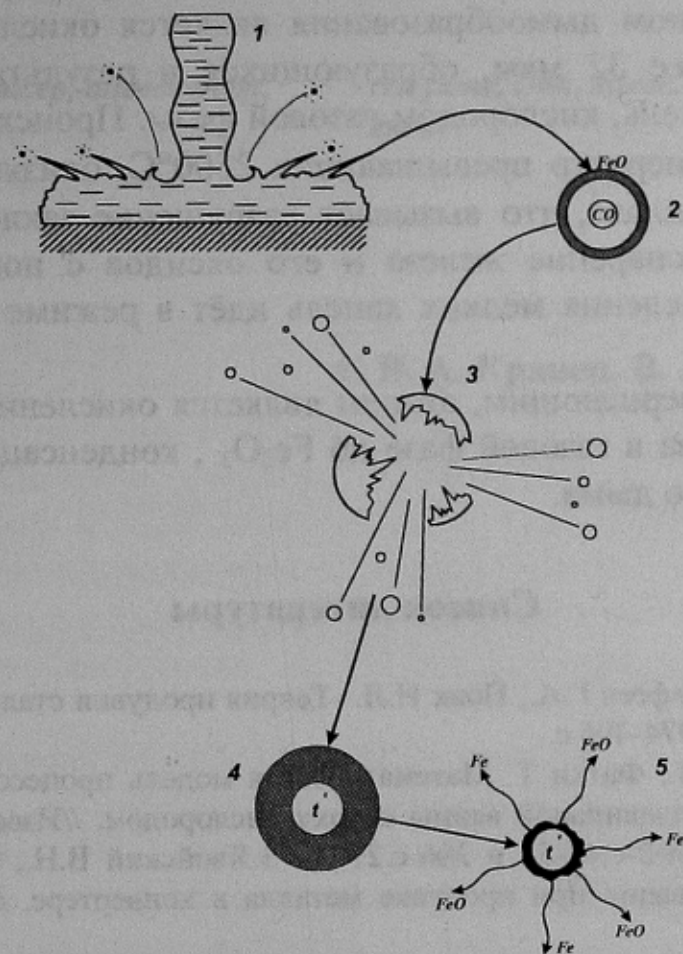


Рисунок 6 - Стадии образования бурого дыма при переливах чугуна:  
1-диспергирование струи чугуна при ударе; 2-образование закисной плёнки на поверхности крупных брызг и пузырькаmonoоксида углерода внутри; 3-взрыв капли; 4-окисление и разогрев мелких капель; 5-испарение капель.

Таким образом, экспериментально изученные свойства пыли, образующейся при переливах чугуна, свидетельствуют в пользу следующих представлений о механизме дымообразования.

1. Бурый дым образуется в результате взаимодействия брызг металла с кислородом газовой фазы. Наличие брызг и окислительной атмосферы является обязательными условиями дымообразования при переливах чугуна.
2. Первым этапом дымообразования является взрыв крупных брызг в результате выделения пузырька монооксида углерода в объеме капли. Факт взрыва капель при переливах чугуна доказан экспериментально. Установлено, что вероятность взрыва зависит от размера капли. Брызги крупнее 250 мкм взрываются всегда, брызги менее 32 мкм – не взрываются, брызги промежуточных размеров взрываются с тем большей вероятностью, чем больше их размер.
3. Вторым этапом дымообразования является окисление капель диаметром менее 32 мкм, образующихся в результате взрыва более крупных капель, кислородом газовой фазы. Происходит разогрев капель до температур превышающих 2500°C, близких к температуре кипения расплава, что вызывает разрушение закисной плёнки, интенсивное испарение железа и его оксидов с поверхности капли. Процесс окисления мелких капель идёт в режиме тотального горения.
4. Третьим, завершающим, этапом является окисление паров железа и закиси железа в газовой фазе до  $Fe_2O_3$ , конденсация и образование частиц бурого дыма.

### Список литературы

1. Явойский В.Н., Дорофеев Г.А., Повх И.Л. -Теория продувки сталеплавильной ванны. -М.:Металлургия -1974-496 с.
2. Меджибожский М.Я., Фатхи Т. Математическая модель процесса дымообразования при продувке сталеплавильной ванны сверху кислородом. //Известия вузов. Чёрная металлургия. -1980-№2-с.48-52 и №6-с.21-25. 3. Явойский В.Н., Славин В.И. Обзор гипотез пылеобразования при продувке металла в конвертере. //Сталь. -1986-№10-с.15-18.
4. Толочко А.И., Филиппев О.В., Славин В.И., Гурьев В.С. Очистка технологических и неорганизованных выбросов от пыли в чёрной металлургии. -М.:Металлургия -1986-208 с.
5. Поляков А.Ю., Макарова Н.Н. Закономерности образования бурого дыма при взаимодействии расплавов железо-углерод с кислородом. //Сталь. -1974-№5-с.409-413.
6. Поляков А.Ю. Теоретические основы рафинирования сталеплавильной ванны. -М.:Наука-1975-200 с.

7. Кравець В.А. Подавлення бурого диму при переливах чугуна. Монографія. – Донецьк: УкрНТЭК, 2002-186 с.

Надійшла до редколегії 16.12.2008.

**В. А. КРАВЕЦЬ\*, В. А. ТЕМНОХУД\*\***

\* - Донбаська національна академія архітектури і будівництва,

\*\* - ДВНЗ «Донецький національний технічний університет»

**V. A. KRAVETS\*, V. A. TEMNOCHUD\*\***

\* - DonNABA, Makeevka

\*\* - SHSI «Donetsk National Technical University»

**Експериментальне дослідження утворення бурого диму при переливах чавуну.** На основі експериментальних даних запропоновано механізм утворення бурого диму при переливах рідкого чавуну з ємності в ємність.

*бурий дим, чавун, міксер, атмосфера, кисень, метал*

**Experimental Research of Red Fume Formation on Cast Iron Transfer.** On the basis of experimental data the mechanism of red fume formation on cast iron transfer from vessel to vessel is proposed.

*red fume, iron, mixer, atmosphere, oxygen, metal*

© В. А. Кравець, В. А. Темнохуд, 2009